

中央大学理工学部 正員 ○ 岡 内 功

東京大学工学部 正員 宮 田 利 雄

## 1. まえがき

風により吊橋に誘起される破壊的振動が空気力の負減衰による自励振動として解されることは既にしばしば報告されていことがある。したがつて、その振動の発振風速は、振動に際して吊構造部に作用するいわゆる動的空気力が知られれば、この空気力の負減衰効果が正の構造減衰を打ち消す時の風速として求められるわけである。この線に沿って、筆者らも従来から動的空気力の実測を行なうなど各種の研究を進めているところであるが、この度、静的三分力の測定結果に基づいて上記動的空気力を与え、この空気力を適用して吊橋の特にねじれの自励振動問題につき若干の検討を行なった。すなわち、準静的空気力の適用によつて吊橋の主として失速フラッター型自励振動の解明を試みたのである。

この種の問題に対する準静的空気力の適用は既にギャロフピング現象に関して Den Hartog や G. Parkinson らが行なつてゐることはよく知られていくが、本文に述べる解析は Parkinson らが角柱の曲げ振動に対して示した方法を吊橋のねじれ振動の場合に拡張しているものといえよう。以下その概要を報告することとする。

## 2. 振動中の吊構造部に作用する空気力

速度  $V$  の風が吊構造部の水平軸に対して  $\alpha_0$  の傾き角(以後初期迎角と呼ぶ)をもつて吹いていふとして、その風の中で鉛直たわみとねじれの振動をしていふ吊構造部が受けた空気力を考へることとする。

このとき、吊構造部は空気流に対して相対運動をしていふために、迎角が  $\alpha_0$  と違つてくるが、例えば速度  $\dot{\gamma}$  で鉛直たわみ振動をしていれば迎角は  $\alpha_0 + \tan^{-1}(-\dot{\gamma}/V)$  となる。ここで負号がつくのは相対速度が変位と逆方向であるからである。同様に、角速度  $\dot{\varphi}$  でねじれ振動をしていれば回転中心から  $x$  の距離にある吊構造部の迎角は、 $\alpha_0 + \dot{\varphi} + \tan^{-1}(-x\dot{\varphi}/V)$  ということになるわけである。しかし、このように断面内各点で迎角が異なることは取扱い上厄介なものにするので、ねじれ振動にともなう相対迎角については、これを全長に対して  $\tan^{-1}(-b'\dot{\varphi}/V)$  とおくことにする。この置換はかなり大胆な仮定であるが、回転中心から  $b'$  の距離にある点の相対迎角が全長の相対迎角を代表させたと考えられるものであり、また  $b'$  は空気力の横断面内の分布状態に関連する量として考へられる。

以上によつて、鉛直たわみとねじれの振動をしていふときの吊構造部の迎角は、図-1に示すよ

$$\alpha = \alpha_0 + \dot{\varphi} + \tan^{-1}(-\dot{\gamma} - b'\dot{\varphi}/V) \quad (1)$$

として表わされ、また吊構造部に作用する風速は、図示するよ

$$V_{rel} = V \sec \gamma, \quad \text{ここで } \gamma = \tan^{-1}(-\dot{\gamma} - b'\dot{\varphi}/V) \quad (2)$$

となる。そして、静的三分力測定により空気力係数が知られてければ、振動中の吊構造部にからく空

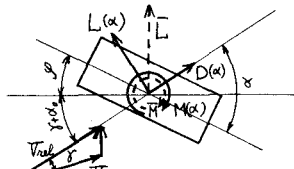


図-1. 吊構造部にからく空気力

気力は、 $\rho$  を空気密度、 $b$  を橋幅とするとき、動的成分を含めそれを

$$\left. \begin{aligned} L(\alpha) &= C_L(\alpha) \frac{\rho b}{2} V_{rel}^2 \\ D(\alpha) &= C_D(\alpha) \frac{\rho b}{2} V_{rel}^2 \\ M(\alpha) &= C_M(\alpha) \frac{\rho b^2}{2} V_{rel}^2 \end{aligned} \right\} \quad (3)$$

の各式より求めることができることとなる。ただし、一般に静的三分力の測定値は図-1に示されていきのように風軸（風向を標準とする直角軸）に関する成分が多いため、この場合には、鉛直方向および回転方向に作用する空気力成分 $\bar{L}$ および $\bar{M}$ が

$$\bar{L} = L(\alpha) \cos \beta + D(\alpha) \sin \beta, \quad \bar{M} = M(\alpha) \quad \text{ここで } \beta = \alpha_0 + \gamma$$

となる。（たゞしこれ、この $\bar{L}$ と $\bar{M}$ を

$$\bar{L} = C_{Ly} \frac{\rho b}{2} V^2, \quad \bar{M} = C_{My} \frac{\rho b^2}{2} V^2 \quad (4)$$

とおくならば、 $C_{Ly}$ と $C_{My}$ は

$$\left. \begin{aligned} C_{Ly} &= [C_L(\alpha) \cos \beta + C_D(\alpha) \sin \beta] \sec^2 \gamma \\ C_{My} &= C_M(\alpha) \sec^2 \gamma \end{aligned} \right\} \quad (5)$$

として表わされる。

$\gamma = 32^\circ$ 、(3)式における空気力係数は、前述のように静止模型に対する三分力の測定実験により求められるのであるが、その値を次の(6)式のように多項式で近似すれば、(5)式の $C_{Ly}$ と $C_{My}$ を最終的にはねじれ角 $\gamma$ および相対迎角 $\alpha$ の関数として表わすことができるようになる。

$$\left. \begin{aligned} C_L(\alpha) &= a_0 + a_1 \alpha + a_2 \alpha^2 + \dots \\ C_D(\alpha) &= b_0 + b_1 \alpha^2 + b_2 \alpha^4 + \dots \\ C_M(\alpha) &= c_0 + c_1 \alpha + c_2 \alpha^2 + \dots \end{aligned} \right\} \quad (6)$$

ただし、ここで初期迎角 $\alpha_0$ を無視しても一様性を失わない。それは(6)式のように多項式展開を行なうさいに $\alpha = \alpha_0$ を原点として各係数を定めればよいからである。

### 3. 失速フランジャー型自動振動を行なう吊橋の運動方程式

失速フランジャー型自動振動の場合にはほとんどのみのり（自由度振動状態）にあることが知られていくが、このように気流中でねじれ振動を行なう吊橋の運動方程式は次のようになら。

$$\theta \frac{\partial^2 \phi}{\partial t^2} + C_{20} \frac{\partial \phi}{\partial t} + EC_w \frac{\partial^4 \phi}{\partial x^4} - (GK + \frac{b^2}{2} H_w) \frac{\partial^2 \phi}{\partial x^2} + \frac{8fb}{l^2} H_2 = \bar{M}(x, t) \quad (7)$$

ただし、 $\theta$ ：質量慣性モーメント、 $C_{20}$ ：減衰係数、 $EC_w$ ：曲げねじれ剛性、 $GK$ ：ねじれ剛性、 $H_w$ ：死荷重によるケーブル水平張力、 $H_2$ ：張力の増分、 $l$ ：スパン、 $f$ ：サグである。ここで吊構造部の振動を $\phi(x, t) = \sum_r \phi_{2r}(t) \psi_{2r}(x)$  とき、モード間の連成がないものとすれば、(7)式より次のモードは対して

$$(\ddot{\phi}_{2r} + 2 \zeta_{2r} \omega_{2r} \dot{\phi}_{2r} + \omega_{2r}^2 \phi_{2r}) \int_l \phi_{2r}^2(x) dx = \frac{1}{\theta} \int_l \bar{M}(x, t) \phi_{2r}(x) dx \quad (8)$$

がえられる。ただし、 $\omega_{2r}$ ： $r$ 次のねじれ固有振動数、 $\zeta_{2r}$ ：減衰係数、 $\phi_{2r}$ ：一般座標、 $\psi_{2r}$ ：直交関数である。(8)式右辺の $\bar{M}(x, t)$ は前節述べたように $\phi$ および $\dot{\phi}$ の関数として考えることができるから、 $\phi = \phi_2 \phi_2$ 、 $\dot{\phi} = \dot{\phi}_2 \phi_2$ とき添字 $r$ を省略すると、(8)式はさらに次のようになら。

$$\ddot{\phi}_2 + 2 \zeta_2 \omega_2 \dot{\phi}_2 + \omega_2^2 \phi_2 = K_2 \int_0 L C_{My} (\phi_2, \dot{\phi}_2) \phi_2 dx \quad (9)$$

$$\therefore K_2 = \frac{\rho b^2 V^2}{2\theta} \int_0^L \phi_2^2(x) dx \quad \text{である。}$$

(9)式は明らかに非線形であるが、これはまた

$$\ddot{\phi}_2 + \omega_2^2 \phi_2 + \mu g (\phi_2, \dot{\phi}_2) = 0 \quad (10)$$

と書かうことがで、 $\mu$ が十分小さければ Krylov-Bogoliubov の近似法により解を求めることがで  
きる。すなはち、解は  $\phi_2 = A_2 \sin(\omega_2 t + \psi_2)$  とおき、振幅  $A_2$ 、位相  $\psi_2$  は一周期  $T = 2\pi/\omega_2$  の間  
にきわめて徐々に変化する値であると考えると、 $A_2$  および  $\psi = \omega_2 t + \psi_2$  は

$$\frac{dA_2}{dt} = -\frac{1}{2\pi\omega_2} \int_0^{2\pi} \mu g (A_2 \sin \phi, A_2 \omega_2 \cos \phi) \cos \phi d\phi \equiv \bar{\Psi}(A_2) \quad (11)$$

$$\frac{d\psi}{dt} = \omega_2 + \frac{1}{2\pi A_2 \omega_2} \int_0^{2\pi} \mu g (A_2 \sin \phi, A_2 \omega_2 \cos \phi) \sin \phi d\phi \equiv \bar{\Omega}(A_2) \quad (12)$$

により定められる。

#### 4. 快速フランクー型自動振動の発振条件

以上のようにして求められる(9)式の解が定常である条件。すなはち自動振動が定常状態を保つりミ  
ントサイクルを形成する条件は(11)式から  $\bar{\Psi}(A_2) = 0$  である。さらに振幅  $A_2$  のリミットサイクルが発散し  
ないための条件は  $d\bar{\Psi}(A_2)/dA_2 < 0$  である。したがって、自動振動が静止の状態 ( $A_2 = 0$ ) から発振する  
ための条件は  $\bar{\Psi}(0) > 0$  および  $d\bar{\Psi}(A_2)/dA_2 > 0$  であることがわかる。

ここで、これらの条件を用いて快速フランクー型自動振動が発振する風速の領域を定めることにする。  
いま、 $C_{Mg} = C_0 + C_1 \alpha + C_2 \alpha^2 + \dots + C_7 \alpha^7$

$$\left. \begin{aligned} \gamma &= \tan^{-1}(-b' \dot{\phi}/V) = (-b' \dot{\phi}/V) - \frac{1}{3}(-b' \dot{\phi}/V)^3 + \frac{1}{5}(-b' \dot{\phi}/V)^5 - \frac{1}{7}(-b' \dot{\phi}/V)^7 \\ \sec^2 \gamma &= 1 + (-b' \dot{\phi}/V)^2 \end{aligned} \right\} \quad (13)$$

とおけば、(9), (11)式より

$$\begin{aligned} \bar{\Psi}(A_2) &= -\frac{K_2}{2\pi\omega_2} \left[ A_2 \omega_2 \frac{b'}{V} \left\{ \left( \frac{2\zeta_2 \omega_2}{K_2} \frac{V}{b'} + C_1(0.2) \right) \pi + 3C_3(0.4) A_2^2 \frac{\pi}{4} + 5C_5(0.6) A_2^4 \frac{\pi}{8} + 7C_7(0.8) A_2^6 \frac{5\pi}{64} \right\} \right. \\ &\quad + \frac{1}{3} A_2^3 \omega_2^3 \left( \frac{b'}{V} \right)^3 \left\{ (2C_1 + 3C_3)(0.4) \frac{3\pi}{4} + 6(C_3 + 5C_5)(0.6) A_2^2 \frac{\pi}{8} + 5(2C_5 + 21C_7)(0.8) A_2^4 \frac{3\pi}{64} + 14C_7(0.10) A_2^6 \frac{3\pi}{128} \right\} \\ &\quad + \frac{1}{15} A_2^5 \omega_2^5 \left( \frac{b'}{V} \right)^5 \left\{ (15C_5 - 2C_1)(0.6) \frac{5\pi}{8} + (315C_7 - 6C_3)(0.8) A_2^2 \frac{5\pi}{32} - 10C_5(0.10) A_2^4 \frac{3\pi}{128} - 14C_7(0.12) A_2^6 \frac{5\pi}{512} \right\} \\ &\quad \left. + \frac{1}{105} A_2^7 \omega_2^7 \left( \frac{b'}{V} \right)^7 \left\{ (6C_1 - 7C_3 - 70C_5 + 105C_7)(0.8) \frac{35\pi}{64} + 2(9C_3 - 35C_5 - 735C_7)(0.10) A_2^2 \frac{7\pi}{128} \right. \right. \\ &\quad \left. \left. + 5(6C_5 - 49C_7)(0.12) A_2^4 \frac{7\pi}{312} + 42C_7(0.14) A_2^6 \frac{5\pi}{1024} \right\} \right] \end{aligned} \quad (14)$$

となる。ただし、 $(0, \alpha) = \int_0^L \phi_2''(x) dx$  である。(14)式より  $A_2 = 0$  が  $\bar{\Psi}(A_2) = 0$  の根であることをわからず

$$\left[ \frac{d\bar{\Psi}(A_2)}{dA_2} \right]_{A_2=0} = -\frac{K_2 b'}{2V} \left\{ \frac{2\zeta_2 \omega_2}{K_2} \frac{V}{b'} + C_1(0.2) \right\} \quad (15)$$

したがって、自動振動が発生する条件は

$$\frac{2\zeta_2 \omega_2}{K_2} \frac{V}{b'} + C_1(0.2) \leq 0 \quad (16)$$

となり、これより  $C_1 \geq 0$  の場合には左辺が常に正であるから自動振動は発現しないことが知られる。

これに対し、 $C_1 < 0$  の場合には(16)式から

$$V \geq -\frac{1}{C_1} \frac{4\zeta_2 \omega_2}{\rho b' b^2} \quad (17)$$

の風速において自動振動が現れることがある。なお、(14)式において  $A_2 = 0$  のときは  $\bar{\Psi}(A_2) = 0$   
となる  $\bar{\Psi}(0) > 0$  の条件を満足していないが、これは風速が(17)式で与えられる値以上になつて、何  
らかの初期振幅が存在しないなければ自動振動が発振しないことを意味すると考えられる。

上述のように、発振条件として  $C_l$  の正負が問題となるが、この  $C_l$  は(13)式からわかるようにモーメント係数  $C_M(\alpha)$  曲線の勾配である。したがって、発振風速  $V_F$  はまた次のように表わすことができる。すなわち、

$$V_F = \frac{1}{|dC_M(\alpha)/d\alpha|} \frac{4\pi w_s \theta}{\rho b' b^2} \quad \text{ただし } \frac{dC_M(\alpha)}{d\alpha} < 0 \quad (18)$$

(18)式により  $C_M(\alpha)$  曲線が負勾配をもつ迎角範囲において失速フラッター型自動振動の発現が予測されることがある。この傾向を顕著に示す実験結果を図-2にあげる。図-2は、筆者らが実施した全橋模型による風洞実験において失速フラッター型自動振動が発生したケースの発振風速  $V_F$  と  $C_M$  曲線の関係を示すものであるが、自動振動が発生した迎角範囲と  $C_M$  曲線が負勾配である迎角範囲がほぼ一致しており、これらによつて前述の考え方方が実験結果の傾向をあざむねらえていると見なしう。

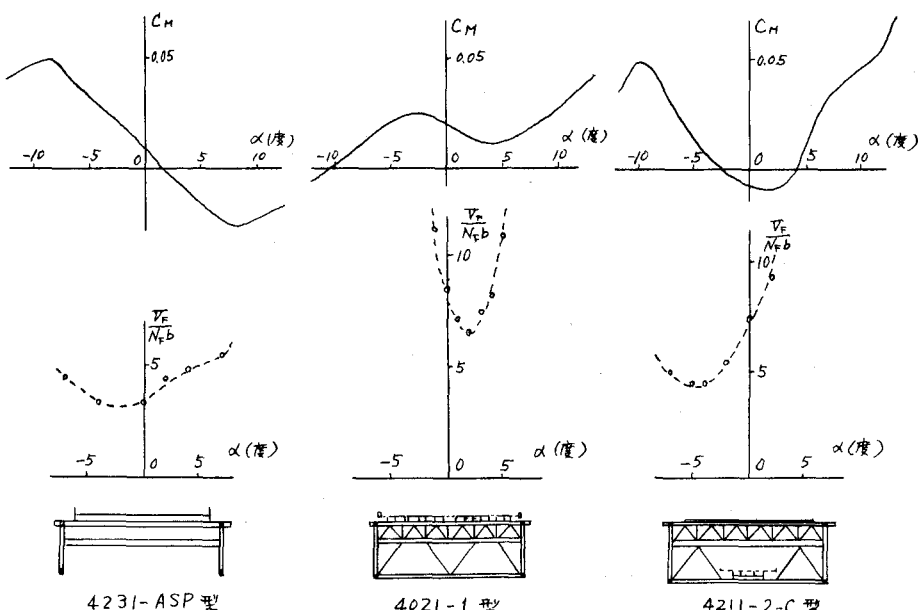


図-2. 自励振動の発振風速と  $C_M$  曲線の関係を示す実験結果

### 5. むすび

以上、吊橋の失速フラッタ型自動振動を解析するに当つて準静的空気力を適用した結果述べたが、これにより発振風速は、減衰率、固有振動数、慣性モーメント、主げた間隔、 $C_M$  曲線の勾配、あるいは  $b'$  などの影響を受けることが知られた。したがつて、実用上の観点からすれば、例えば  $C_M$  曲線の負勾配の小さな迎角を選ぶ必要があるなどの方針がえられるようであらう。しかし、それとともに  $b' = 1$  といへどその物理的意義や特性を明確にすることが今後必要であることを注意しなければならない。それだけ  $b'$  が  $C_M$  曲線の勾配とともに発振風速を決定する重要な因子であるからである。また、限界条件の誘導において  $b'$  が正であることを前提としたが、この点についてもなまく検討の余地が認められる。

このよしなわけど、現在、 $b'$  と動的空気力の実測値との関連性の追究などを通じて上述の諸問題の検討を進めたいことを終りに付言しておくるものである。